

УДК 539.375

ХРУПКОЕ РАЗРУШЕНИЕ УПРУГОИ СОСТАВНОЙ ПЛОСКОСТИ С КЛИНОВИДНЫМ ВЫРЕЗОМ

ЛЕБЕДЕВ Д. Ф.

Рассматривается упругая составная плоскость, ослабленная бесконечным клиновидным вырезом. К краям выреза осевой силой прижат без трения жесткий штамп в форме клина.

Устанавливается асимптотика напряженного состояния в окрестности вершины выреза, а также под краем штампа. Разрушающая нагрузка определяется по критерию хрупкой прочности В. В. Новожилова.

Строются системы кусочно-однородных решений (P -системы) двух смешанных симметричных задач для бесконечного упругого клина. В рядах по элементам этих систем могут быть решены различные задачи об обжатии произвольным числом штампов однородных и составных, усеченных, конечных и бесконечных клиновидных областей; о равнотесении однородной и составной бесконечной плоскости, ослабленной системой радиальных пунктирных разрезов, при условиях циклической симметрии.

P -системы для бесконечного упругого конуса построены в [1].

1. Рассмотрим две краевые задачи а) и б) о плоской деформации бесконечного упругого клина $\{0 \leq r < \infty, -\pi \leq \theta \leq \pi\}$ с общим основным условием

$$z_{\theta}(r, \pm z) = 0 \quad (0 \leq r < \infty) \quad (1.1)$$

и со смешанными условиями:

- а) $z_0(r, \pm z) = f_1(r) \quad (0 \leq r < 1), \quad v(r, \pm z) = \pm g_1(r) \quad (1 \leq r < \infty)$ (1.2)
б) $z_0(r, \pm z) = f_2(r) \quad (1 < r < \infty), \quad v(r, \pm z) = \pm g_2(r) \quad (0 \leq r \leq 1)$

Их решение с учетом симметрии граничных условий и однородного условия (1.1) запишем в виде интеграла Меллина [1, 2, 3]:

$$w(r, \theta) = \frac{1}{2\pi i} \int_{L_j} B_j(\nu) W(\nu, \theta) p(r, -\nu) d\nu, \quad w = (u, v), \quad W = (U, V) \quad (1.3)$$

$$V(\nu, \theta) = (2G)^{-1} (\nu + z) [(\nu + z) \sin(\nu - 1)z \cos(\nu + 1)\theta - \\ - (\nu + 1) \sin(\nu + 1)z \cos(\nu - 1)\theta]$$

$$V(\varphi, \theta) = (2G)^{-1} \nu (\varphi + \theta) [(\varphi - \theta) \sin(\varphi - 1) z \sin(\varphi + 1) \theta - \\ - (\varphi + 1) \sin(\varphi + 1) z \sin(\varphi - 1) \theta]$$

$$\omega(r, t) = r^t, \quad z = 3 - 4t$$

где w —вектор перемещений, $u = u(r, \theta)$ —радиальное, $v = v(r, \theta)$ —угловое перемещение; r, θ —полярные координаты; W —вектор трансформант U и V перемещений и v соответственно; G —модуль сдвига, ν —коэффициент Пуассона, φ —параметр преобразования Меллина; индексы $j=1$ (задача а), $j=2$ (задача б); контуры L_1 и L_2 —такие же, что в задаче Римана, но левее (правее) ближайшего полюса подынтегральных функций.

Из условий (1.2) получим, что функция $B_j(\varphi)$ удовлетворяет двум уравнениям

$$v^+(\varphi) + v^-(\varphi) = B_j(\varphi) D_1(\varphi), \quad z^+(\varphi) + z^-(\varphi) = B_j(\varphi) D_2(\varphi) \quad (\varphi \in L_j) \quad (1.4)$$

$$D_1(\varphi) = -(2G)^{-1} 4(1-\nu) \varphi (\varphi + z) \sin(\varphi - 1) z \sin(\varphi + 1) z$$

$$D_2(\varphi) = -z^2 (\varphi + z) (z \sin 2z + \sin 2z)$$

$$v^+(\varphi) = \int_0^1 v(r, z) \varphi(r, \varphi - 1) dr, \quad v^-(\varphi) = \int_1^\infty v(r, z) \varphi(r, \varphi - 1) dr$$

$$z^+(\varphi) = \int_0^1 z_0(r, z) \varphi(r, \varphi) dr, \quad z^-(\varphi) = \int_1^\infty z_0(r, z) \varphi(r, \varphi) dr$$

Исключив $B_j(\varphi)$ из (1.4), приходим к задаче Римана [4]

$$v^+(\varphi) + v^-(\varphi) = K(\varphi) [z^+(\varphi) + z^-(\varphi)], \quad K(\varphi) = D_1(\varphi) D_2^{-1}(\varphi) \quad (\varphi \in L_j) \quad (1.5)$$

относительно неизвестных $v^+(\varphi)$, $v^-(\varphi)$ и $v^-(\varphi)$, $z^-(\varphi)$ при $j=1$ и $j=2$ соответственно.

Следуя [1, 3], построим каноническое решение однородной задачи Римана

$$v_0^\pm(\varphi) = K(\varphi) z_0^\pm(\varphi)$$

в виде произведения решений задач с коэффициентами $K_s(\varphi)$ ($s=1, 2$)

$$v_s^+(\varphi) = K_s(\varphi) z_s^-(\varphi) \quad (\varphi \in L_1), \quad v_s^-(\varphi) = K_s(\varphi) z_s^+(\varphi) \quad (\varphi \in L_2) \quad (1.6)$$

$$K_1(\varphi) = -g \varphi^{-1} \operatorname{tg}^{-1} \pi \varphi, \quad g = (1-\nu) G^{-1}$$

$$K_2(\varphi) = K(\varphi) K_1^{-1}(\varphi) = \frac{2(\sin^2 \alpha - \sin^2 \varphi)}{\varphi \sin 2z + \sin 2\varphi} \operatorname{tg} \pi \varphi$$

Мероморфная функция $K_2(\varphi)$, как следует из анализа нулей ха-

рактеристических функций $D_j(\nu)$, не имеет нулей и полюсов внутри полосы $\gamma_2 \leq \operatorname{Re} \nu \leq \gamma_1$; на мнимой оси $\nu = i\beta$ она вещественна и четная:

$$K_2(i\beta) = 2(\operatorname{sh}^2 \beta + \operatorname{sin}^2 \beta) \operatorname{th} \pi \beta (\beta \operatorname{sin} 2\beta + \operatorname{sh} 2\beta)^{-1}$$

$$K_2(i\beta) = 1 + O(|\beta| \exp(-2|\beta|)) \quad (\beta \rightarrow \pm \infty)$$

Сместив контуры сопряжения L_j на мнимую ось, получим решение задачи (1.6) при $s=2$ в виде

$$v_+^+(\nu) = V(\nu) \quad (\operatorname{Re} \nu \geq \gamma_1), \quad v_-^-(\nu) = V^{-1}(\nu) \quad (\operatorname{Re} \nu \leq \gamma_2) \quad (1.7)$$

$$Y(\nu) = \exp \left[\frac{\nu}{\pi} \int_0^\infty \frac{\ln K_2(it) dt}{t^2 + \nu^2} \right] \quad (\operatorname{Re} \nu \neq 0) \quad (1.8)$$

При $s=1$ задачи (1.6) решаются элементарно:

$$v_+^+(\nu) = g\nu^{-2}\Gamma(\nu+1)\Gamma^{-1}(\nu+1/2) \quad (\operatorname{Re} \nu > \gamma_1) \quad (1.9)$$

$$v_-^-(\nu) = g\nu^{-2}\Gamma(-\nu+1)\Gamma^{-1}(-\nu+1/2) \quad (\operatorname{Re} \nu < \gamma_2)$$

Для неизвестных $v_0^+(\nu)$ будем иметь

$$v_0^+(\nu) = v_+^+(\nu)Y(\nu) \quad (\operatorname{Re} \nu \geq \gamma_1), \quad v_0^-(\nu) = v_-^-(\nu)Y^{-1}(\nu) \quad (\operatorname{Re} \nu \leq \gamma_2) \quad (1.10)$$

Решение неоднородных задач (1.5) найдем для функций (1.2) следующего вида:

$$f_j(r) = C_j \rho(r, -\gamma_j - 1), \quad g_j(r) = E_j \rho(r, -\delta_j) \quad (j=1, 2) \quad (1.11)$$

$$\operatorname{Re} \gamma_1 < -1, \quad \operatorname{Re} \delta_1 > \gamma_1, \quad \operatorname{Re} \gamma_2 > \gamma_2, \quad \operatorname{Re} \delta_2 < \gamma_2$$

Их трансформанты равны

$$v^{\pm}(\nu) = C_j(\nu - \gamma_j)^{-1}, \quad v^{\mp}(\nu) = -E_j(\nu - \delta_j)^{-1} \quad (j=1)$$

$$v^{\pm}(\nu) = -C_2(\nu - \gamma_2)^{-1}, \quad v^{\mp}(\nu) = E_2(\nu - \delta_2)^{-1} \quad (j=2)$$

По обобщенной теореме Лиувилля получим

$$v^{\pm}(\nu) = \pm \frac{E_j}{\nu - \delta_j} \pm v_0^{\pm}(\nu) \left[\frac{C_j K(\gamma_j)}{(\nu - \gamma_j)v_0^{\pm}(\gamma_j)} - \frac{E_j}{(\nu - \delta_j)v_0^{\pm}(\delta_j)} + \delta_{j1}d + \delta_{j2}e \right] \quad (1.12)$$

Здесь верхний (нижний) знак соответствует $j=1$ ($j=2$); d и e —произвольные постоянные, которые появляются из условия ограниченности энергии упругих напряжений в окрестности точки $r=1$, $\ell=\pm 2$; δ_{jkl} —символ Кронекера.

Таким образом, решение вспомогательной задачи (1.1), (1.2) выражается однократными квадратурами (1.3), где

$$B_j(\nu) = \pm \frac{v_0^{\pm}(\nu)}{D_1(\nu)} \left[\frac{C_j K(\gamma_j)}{(\nu - \gamma_j)v_0^{\pm}(\gamma_j)} - \frac{E_j}{(\nu - \delta_j)v_0^{\pm}(\delta_j)} + \delta_{j1}d + \delta_{j2}e \right] \quad (1.13)$$

2. Пусть $w_{jm}^k = (u_{jm}^k, v_{jm}^k)$ — k -й вектор упругих перемещений (k -й элемент) P -системы j -й задачи (1.1), (1.2) при значениях $f_j(r)=0$, $g_j(r)=0$, с осью бинесстами в точках $r=0$ ($m=1$) или $r=\infty$ ($m=2$); $w_{jm}^{k1} = (u_{jm}^{k1}, v_{jm}^{k1})$ — k -й вектор перемещений (k -й элемент) системы однородных решений (H -системы), имеющих особенности в тех же точках, удовлетворяющих общему условию (1.1) и основным условиям $\omega_j(r, \pm\pi)=0$, $j=m$; $v(r, \pm\pi)=0$, $j\neq m$ ($j, m=1, 2$; $0 \leq r < \infty$).

Полагаем

$$w_{jm}^k = w_{jm}^{k1} + \bar{w}_{jm}^{k2} \quad (2.1)$$

где \bar{w}_{jm}^{k2} — корректирующий вектор из k -го элемента J^2 -системы.

Элементы H -систем записем в виде

$$w_{jm}^{k1}(r, b) = A_{jm}^k W(v_{jm}^k, b) \varphi(r, -v_{jm}^k) \quad (2.2)$$

где A_{jm}^k — произвольные постоянные, v_{jm}^k — нули функций $D_s(\cdot)$, $s=1+\ell_{jm}$. $\operatorname{Re} v_{11}^k > 0$, $\operatorname{Re} v_{12}^k < 0$.

Все нули $D_1(\cdot)$ вещественные:

$$v_{11}^k = \{\nu_{11}^{k1} = \nu_k := k\pi z^{-1} + 1, \quad \nu_{11}^{k2} = \nu_k - 2, \quad k = 1, 2, \dots\}$$

$$v_{12}^k = \{\nu_{12}^{k1} = -\nu_{11}^{k1}, \quad \nu_{12}^{k2} = -\nu_{11}^{k2}, \quad k = 1, 2, \dots\}; \quad \nu_{12}^k = \nu_{12}^{k1} = 0, \quad k = 0$$

$$\nu_{12}^k = \nu_{12}^{k1} = -\nu_{11}^{k1} = -\nu_{11}^{k2} = -1, \quad k = -1$$

Нули функции $D_2(\cdot)$ исследовались, к примеру, в статьях [5, 6, 7]. В [6] установлена асимптотика комплексных нулей ($0 < 2z < 2\pi$). Графики зависимостей нескольких первых нулей от величины угла $2z$ приведены в [7]. В [5] обычным приемом отделения вещественной и мнимой частей комплексной функции аналитически исследованы комплексные нули нечетной функции ($0 < 2z < \pi$).

$$\Phi(z) = \sin z + z \sin 2z/2z, \quad z = 2z\pi$$

В дополнение к [5] отметим, что, если угол $2z \in (0; 0, 8128\pi)$, то $\Phi(z)$ в правой полуплоскости ($\Im z > 0$) имеет только комплексно сопряженные нули $z_k = \xi_k \pm i\tau_k$, $\xi_k \in ((2k-1)\pi, (4k-1)\pi/2)$, $k = 1, 2, \dots$. С ростом угла комплексно-сопряженные нули поочередно (от меньших номеров к большим) сходятся, образуя, начиная с $2z=0,8128\pi$, вещественные двукратные нули. При увеличении угла $2z \in (0,8128\pi; \pi)$, эти нули расходятся в простые вещественные (пары): $\xi_k^{(1)} = (2k-1)\pi + \varepsilon$, $\xi_k^{(2)} = 2k\pi - \varepsilon$, $0 \leq \varepsilon < \pi/2$. При $2z \rightarrow \pi$ все нули функции $\Phi(z)$ становятся вещественными. С ростом угла в промежутке $(\pi; 1,1542\pi)$ простые вещественные нули $\xi_k^{(1)} = 2k\pi + \varepsilon$, $\xi_k^{(2)} = (2k+1)\pi - \varepsilon$ попарно сходятся, образуя поочередно (от больших номеров к меньшим) двукратные вещественные нули, которые затем переходят в комплексно сопряженные. При $2z \in (1,1542\pi; 1,7505\pi)$ все нули функции $\Phi(z)$ в правой полуплоскости, кроме ξ_{-1} , — комплексно сопряженные, причем $\xi_k \in 2k\pi$.

$(4k+1)\pi/2$). В промежутке $[1.7505\pi; 2\pi]$ комплексно сопряженные нули поочередно (от меньших номеров к большим) переходят в двухкратные вещественные и затем в пары вещественных: $\zeta_k^{(0)}=2k\pi-\varepsilon$, $\zeta_k^{(1)}=(2k+1)\pi-\varepsilon$. Вещественный нуль $\zeta_{-1}\in(0.8128\pi; \pi)$ соответствует значениям угла $\omega<2\pi<2\pi$ и определяет порядок сингулярности напряжений в вершине клина.

Список нулей функции $D_2(\omega)$ представим в виде ($2\pi\neq\pi$)

$$\zeta_{21}^k = \left\{ \zeta^k = \frac{\zeta_k}{2\pi} - \frac{\varepsilon_k}{2\pi} + i\frac{\eta_k}{2\pi}, \quad \zeta_{21}^{k2} = \overline{\zeta_{21}^{k1}}, \quad k=1, 2, \dots \right\}$$

$$\zeta_{22}^k = \left\{ \zeta_{22}^{k1} = -\zeta_{21}^{k1}, \quad \zeta_{22}^{k2} = -\zeta_{21}^{k2}, \quad k=1, 2, \dots \right\}, \quad \zeta_{22}^0 = \zeta_{22}^{k1} = 0, \quad k=0$$

$$\zeta_{21}^k = \zeta_{21}^{k1} = -\zeta_{21}^{k2} = -\zeta_{22}^k < 1, \quad k=-1$$

Для пары вещественных нулей считаем, что $\zeta_{21}^{k1} \leq \zeta_{21}^{k2}$.

Корректирующие векторы w_{jm}^{k*} являются решениями четырех смешанных неоднородных задач (1.1), (1.2), где

$$f_1(r)=0, \quad g_1(r)=-A_{11}^k D_1(\zeta_{21}^k) \varphi(r, -\zeta_{21}^k) \quad (2.3)$$

$$f_2(r)=-A_{11}^k D_2(\zeta_{21}^k) \varphi(r, -\zeta_{21}^k-1), \quad g_2(r)=0 \quad (k=-1, 1, 2, \dots; m=1)$$

$$f_3(r)=-A_{12}^k D_2(\zeta_{12}^k) \varphi(r, -\zeta_{12}^k-1), \quad g_3(r)=0$$

$$f_4(r)=0, \quad g_4(r)=-A_{22}^k D_1(\zeta_{22}^k) \varphi(r, -\zeta_{22}^k) \quad (k=-1, 1, 2, \dots; m=2)$$

Используя зависимости (1.3), (1.13), получим

$$w_{jm}^{k*}(r, \theta) = \frac{1}{2\pi i} \int_{\Gamma_j} B_{jm}^k(\cdot) W(\cdot, \theta) \varphi(r, -\cdot) d\cdot \quad (2.4)$$

$$B_{jm}^k(\cdot) = (-1)^j A_{jm}^k v_j^*(\cdot) D_1^{-1}(\cdot) R_{jm}^k(\cdot)$$

$$R_{jm}^k(\cdot) = \frac{(1-\delta_{jm}) D_2(\zeta_{1m}^k)}{(\cdot - \zeta_{1m}^k) \bar{v}_j^*(\zeta_{1m}^k)} - \frac{\delta_{jm} D_1(\zeta_{2m}^k)}{(\cdot - \zeta_{2m}^k) \bar{v}_j^*(\zeta_{2m}^k)} + \delta_{j1} d_m^k + \delta_{j2} e_m^k$$

$$v_j(\cdot) = \delta_{j1} v_0^+(\cdot) + \delta_{j2} v_0^-(\cdot), \quad \bar{v}_j(\cdot) = \delta_{j1} \bar{v}_0^-(\cdot) + \delta_{j2} \bar{v}_0^+(\cdot)$$

Произвольные постоянные d_m^k , e_m^k найдем из условия самоуравновешенности напряженного состояния, порождаемого каждым элементом P -систем, при значениях радиуса $r<1$ ($j=1$) и $r>1$ ($j=2$). Для выполнения этого условия необходимо положить $R_{jm}^k(\zeta_{22}^0)=0$. Откуда следует

$$\delta_{j1} d_m^k + \delta_{j2} e_m^k = \frac{(1-\delta_{jm}) D_2(\zeta_{1m}^k)}{\zeta_{1m}^k \bar{v}_j^*(\zeta_{1m}^k)} - \frac{\delta_{jm} D_1(\zeta_{2m}^k)}{\zeta_{2m}^k \bar{v}_j^*(\zeta_{2m}^k)} \quad (2.5)$$

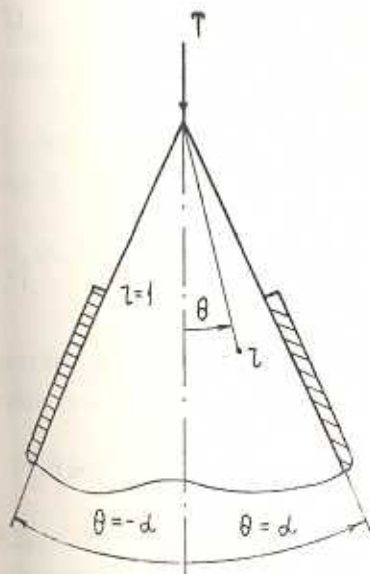
$$(k=-1, 1, 2, \dots; j, m=1, 2)$$

В P -системы $\{w_{12}^k\}$, $\{w_{21}^k\}$ не входят элементы с номером $k=0$,

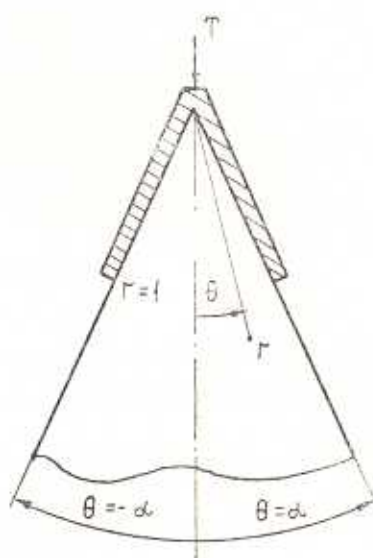
поскольку их главная часть (соответствующие элементы H -систем) обращается в нуль. Векторы w_{12}^0, w_{21}^0 являются решениями однородных задач (1.1), (1.2,а) и (1.1), (1.2,б) (фиг. 1,2) с отличным от нуля главным вектором напряжений при $r < 1$ ($j=1$) и $r > 1$ ($j=2$). Они получаются из соотношений для w_{jm}^k ($j, m = 1, 2; j \neq m$) при $v_{12}^k = v_{21}^k = 0$, $k=0$ и имеют вид:

$$w_{jm}^0(r, \theta) = \frac{1}{2\pi i} \int\limits_{i_j} B_{jm}^0(\nu) W(\nu, \theta) \cdot (\tau, -\nu) d\nu, \quad (2.6)$$

$$\begin{aligned} B_{jm}^0(\nu) &= v_j^*(\nu) D_j^{-1}(\nu) (\tilde{\epsilon}_{j1} d_m^0 + \tilde{\epsilon}_{j2} \frac{\theta}{m}) \\ \tilde{\epsilon}_{j1} d_m^0 + \tilde{\epsilon}_{j2} e_m^0 &= (-1)^j T [2(\sin 2x + 2z)]^{(j)} \end{aligned}$$



Фиг. 1



Фиг. 2

В контактных задачах для клина в случае нескольких точек раздела граничных условий возникает вопрос о возможности их физической реализации. В этой связи рассмотрим вектор w_{12}^k , $k=-1$. Его главная часть характеризует однородное растяжение—скатие клина, а сам вектор определяет на бесконечности поле постоянных напряжений σ_r^* . В указанных задачах необходимо задать некоторое значение $\sigma_r^* < 0$ и учесть в решении элемент w_{12}^{-1} с коэффициентом $A_{12}^k = \sigma_r^* [4(1-2\nu)]^{-1}$ ($2\nu \neq \pi$, $k=-1$).

Двукратным собственным числом $v_{21}^{k1} = v_{21}^{k2}$ соответствуют два однородных решения, одно из которых содержит функцию $\ln r$ и не удовлетворяет соотношению обобщенной ортогональности для секториальной области. Это осложняет применение метода кусочно-од-

нородных решений к составным клиновидным областям, если линия сопряжения $r = \text{const}$, $-z \leq b \leq z$ выходит на грани клина, свободные от нормальных напряжений σ_{\pm} . Практически этих осложнений можно избежать, приняв во внимание свойства собственных чисел $\nu_{21}^{k1} = \nu_{21}^{k2}$, они существуют не при всех значениях угла $2x$, в единственном числе ($2x = \pi$) и при сколь угодно малом изменении угла переходят в пары простых (вещественные либо комплексно сопряженные). В дальнейшем, если $2x > \pi$, полагаем $\nu_{21}^{k1} = \nu_{21}^{k2} e^{i\nu_{21}^{k1}}$.

Заключая построение P -систем, разложим входящие в их элементы контурные интегралы в ряды по однородным решениям. Учитывая соотношение $v_j^*(v) = D_1(v)D_2^{-1}(v)\varphi_j^*(v)$, получим ($k = -1, 1, 2, \dots$):

$$w_{jm}^k(r_q, b) = A_{jm}^k \{(1 - \delta_{qm}) W(\nu_{jm}^k, b) \varphi(r_q, -\nu_{jm}^k) + \\ + (-1)^q \sum_{n=-1}^{\infty} C_{jm}^{kn}(\nu_{pq}^n) W(\nu_{pq}^n, b) \varphi(r_q, -\nu_{pq}^n)\} \quad (2.7)$$

$$C_{jm}^{kq}(v) = (-1)^j [\delta_{p1} v_j^*(v) + \delta_{p2} \varphi_j^*(v)] \bar{D}_p^{-1}(v) R_{jm}^k(v) \\ (q = 1, 2; \quad r_1 > 1, \quad r_2 < 1, \quad p = 2 - \delta_{jq}, \quad s = 1 + \delta_{jm})$$

При $p=0$, $j \neq q$ имеем $(\nu_{21}^0 - \nu_{22}^0)$

$$C_{jm}^{kq}(\nu_{22}^0) = (-1)^j \frac{R_{jm}^k(\nu_{22}^0)}{s \sin v \sqrt{2(\sin 2x + 2s)}} \quad (2.8)$$

функцию $W(\nu_{22}^0, b)$ следует заменить на $\dot{W}(\nu_{22}^0, b)$ (точка означает дифференцирование по v). Если $j=q$, слагаемые номера $n=0$ отсутствуют.

Векторы (2.6) также представим в виде ($j, m=1, 2; j \neq m$)

$$w_{jm}^0(r_q, b) = (-1)^q \sum_{n=-1}^{\infty} C_{jm}^{0q}(\nu_{pq}^n) W(\nu_{pq}^n, b) \varphi(r_q, -\nu_{pq}^n) \quad (2.9)$$

$$C_{jm}^{0q}(v) = [\delta_{p1} v_j^*(v) + \delta_{p2} \varphi_j^*(v)] \bar{D}_p^{-1}(v) (\delta_{j1} d_2^0 + \delta_{j2} e_2^0)$$

При $j \neq q$ и $n=0$ имеем слагаемые ($v = \nu_{2q}^0$)

$$(-1)^j 3! \delta_j^*(v) [W(v, b) \varphi(r_q, -v) - 2x^{-1} (W(v, b) \varphi(r_q, -v))] + \\ + 2 \dot{\varphi}_j^*(v) (W(v, b) \varphi(r_q, -v)) \bar{D}_2^{-1}(v) (\delta_{j1} d_2^0 + \delta_{j2} e_2^0)$$

Здесь первый член соответствует решению Митчелла, второй и третий—смещению клина как жесткого тела.

3. Рассмотрим упругую плоскость с бесконечным клиновидным вырезом (фиг. 3), составленную из двух однородных областей $\Omega_1\{0 \leq r \leq a, -z \leq b \leq z, 2x > z\}$ и $\Omega_2\{a \leq r < \infty, -z \leq b \leq z\}$ (упругие постоянные $-G_k$, ν_k , $k=1, 2$). К граням выреза на участке $b < r < 1$ осевой силой T прижат без трения жесткий клиновидный штамп. На этих гранях выполняются смешанные краевые условия

$$\tau_0(r, \pm z) = 0 \quad (0 < r < \infty) \quad (3.1)$$

$$\tau_0(r, \pm z) = 0 \quad (0 < r < b, 1 < r < \infty)$$

$$\tau_0(r, \pm z) = 0 \quad (b < r < 1)$$

а на поверхности $r=a < 1, a > b$;

$-z < 0 < z$ —основные условия полного сцепления областей Ω_1 и Ω_2

$$u^1 = u^2, v^1 = v^2, \tau_{r1}^1 = \tau_{r2}^2, \sigma_r^1 = \sigma_r^2 \quad (3.2)$$

Взяв решение в виде

$$w^1 = \sum_{k=-1}^{\infty} w_{12}^k, \quad w^2 = w_{21}^0 + \sum_{k=1}^{\infty} w_{21}^k \quad (3.3)$$

удовлетворим условиям (3.1) (штрих означает пропуск $k=0$).

Функции w_{12}^k и w_{21}^k согласно формулам (2.1), (2.2), (2.4), (2.5) и принятому в п. 2 обозначению собственных чисел γ_{jm}^k , представим в виде ($j, m=1, 2; j \neq m$)

$$w_{jm}^k(r, \theta) = \sum_{l=1}^2 A_{jm}^{kl} \left\{ W(\gamma_{jm}^{kl}, \theta) \varphi(r, -\gamma_{jm}^{kl}) + \frac{1}{2\pi i} \int_{\Gamma_j} B_{jm}^{kl}(\nu) W(\nu, \theta) \rho(r, -\nu) d\nu \right\} \quad (3.4)$$

$$B_{jm}^{kl}(\nu) = (-1)^l A_{jm}^{kl} \varphi_j'(\nu) D_j^{-1}(\nu) R_{jm}^{kl}(\nu) \quad (k=1, 2, \dots, l=1, 2; k=-1, l=1)$$

$$R_{jm}^{kl}(\nu) = \frac{D_2(\gamma_{jm}^{kl})}{\varphi_j'(\gamma_{jm}^{kl})} \left(\frac{1}{\nu - \gamma_{jm}^{kl}} + \frac{1}{\gamma_{jm}^{kl}} \right)$$

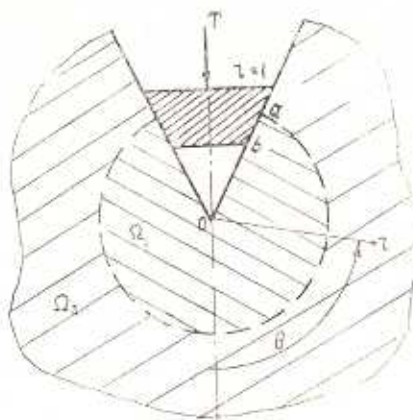
Здесь A_{12}^{01}, A_{12}^{k1} ($k=-1, 1, 2, \dots$), A_{12}^{k2}, A_{21}^{k1} ($k=1, 2, \dots$)—произвольные постоянные.

Функцию w_{21}^0 определим по формуле (2.6).

Элементы P -систем (2.1) построены в локальных координатах. Используемые в (3.3) элементы записем в глобальных координатах, связав их с локальными координатами элементов w_{21}^k и w_{12}^0 . Тогда, для перехода в элементах w_{12}^k к глобальным координатам необходимо заменить радиус r отношением r/b , G_1 —произведением $G_1 b^2$; выражения для перемещений и напряжений умножить на масштабные коэффициенты b и b^{-2} соответственно.

Подставим (3.3) в (3.2) и воспользуемся разложениями (2.7), (2.9) функций (3.4) и w_{21}^0 , записанных в глобальных координатах (w_{12}^k —при $r_1=a/b>1$, w_{21}^k, w_{12}^0 —при $r_2=a<1$). В двойных рядах по n и k поменяем порядки суммирования и введем неизвестные

$$Z_{12}^{kl} = A_{12}^{kl} \rho(a/b, -\gamma_{12}^{kl} + 1), \quad Z_{21}^{kl} = A_{21}^{kl} \rho(a, -\gamma_{21}^{kl} + 1) \quad (l=1, 2) \quad (3.5)$$



Фиг. 3

Применив к образовавшимся рядам условие ортогональности H -системы $\{\varpi_{jm}^k\}$ ($j, m = 1, 2; j \neq m$) в форме

$$\int_{-\pi}^{\pi} U_i(r_{lm}^k, \theta) Q_{ik}(\theta) d\theta = 0 \quad (k \neq l, k = 1, 2, \dots) \quad (3.6)$$

$$Q_{ii}(\theta) = \cos(\nu_i - 1)\theta \quad (i=1, 4), \quad Q_{il}(\theta) = \sin(\nu_i - 1)\theta \quad (l=2, 3)$$

$$U_1(\nu, \theta) = I(\nu, \theta), \quad U_2(\nu, \theta) = V(\nu, \theta), \quad \nu_i = \pi i x^{-1} + 1$$

$$U_3(\nu, \theta) = \nu^2(\nu+1)(\nu+2)[\sin(\nu+1)\nu \sin(\nu-1)\theta - \sin(\nu-1)\nu \sin(\nu+1)\theta]$$

$$U_4(\nu, \theta) = \nu^2(\nu+2)[(\nu+1)\sin(\nu+1)\nu \cos(\nu-1)\theta - (\nu+3)\sin(\nu-1)\nu \cos(\nu+1)\theta]$$

получим нормальную систему Пуанкаре-Коха

$$\sum_{l=1}^2 (\alpha_{kl}^i Z_{12}^{kl} + \beta_{kl}^i Z_{21}^{kl}) + \sum_{n=-1}^{\infty} (\gamma_{nk1}^i Z_{12}^{nk1} + \gamma_{nk2}^i Z_{21}^{nk1}) + \\ + \sum_{n=1}^{\infty} (-\gamma_{nk1}^i Z_{12}^{nk2} + \gamma_{nk2}^i Z_{21}^{nk2}) = \varepsilon_k^i \quad (k=1, 2, \dots; \quad i=\overline{1, 4}) \quad (3.7)$$

$$\alpha_{kl}^i := I_{kl}^{i2}, \quad \beta_{kl}^i := -I_{kl}^{i1} \quad (l=1, 2)$$

$$\gamma_{nk1}^i = - \sum_{s=1}^{x_k} \rho(a/b, \nu_{12}^{ns} - \nu_{11}^{ks}) S_{12}^{ns}(\nu_{12}^{ks}) I_{ks}^{i1}$$

$$\gamma_{nk2}^i = - \sum_{s=1}^{x_k} \rho(a, \nu_{11}^{ns} - \nu_{12}^{ks}) S_{21}^{ns}(\nu_{12}^{ks}) I_{ks}^{i2}$$

$$\varepsilon_k^i = \sum_{s=1}^{x_k} C_{21}^{ns}(\nu_{12}^{ks}) \rho(a, -\nu_{12}^{ks} + 1) I_{ks}^{i2}, \quad x_k := 2 - \delta_{-1, k}$$

$$I_{kl}^{im} = \int_{-\pi}^{\pi} U_i(r_{lm}^k, \theta) Q_{ik}(\theta) d\theta, \quad S_{lm}^{nl}(\nu) = (-1)^l v_j'(\nu) \hat{D}_1^{-1}(\nu) R_{lm}^{nl}(\nu)$$

$$(n=1, 2, \dots, \quad l=1, 2; \quad n=-1, \quad l=1)$$

При $k=-1$ имеем в (3.7) две строки ($i=1, 4$); в интегралах I_{kl}^{im} полагаем $Q_{ik}(\theta) \equiv 1$; $\alpha_{k2}^i = \beta_{k2}^i = 0$.

В интегралы I_{kl}^{im} из коэффициентов $\alpha_{kl}^i, \gamma_{nk1}^i$ ($i=1, 2$) подставляем заданную величину G_1 ; в функциях $S_{12}^{ns}(\nu)$ заменяем G_1 на $G_1 b^s$; коэффициенты $\beta_{kl}^i, \gamma_{nk2}^i$ и ε_k^i зависят от упругих постоянных G_2, b_2 .

Внедиагональные элементы матрицы системы (3.7) убывают экспоненциально по номерам строк и столбцов. Для коэффициентов A_{12}^{kl}, A_{21}^{kl} имеют место оценки

$$|A_{12}^{kl}|, |A_{21}^{kl}| \leq k^{-|l|} \exp(-2\pi k x^{-1} L), \quad L = \min[\ln(a/b), \ln(1/a)] \quad (3.8)$$

Исследуем поведение перемещений и напряжений в окрестности угловой точки выреза, а также под краем штампа. Представим вектор перемещений из области $\Omega_1 - w^1 = (u^1, v^1)$ при $r < b$ в виде ряда по вычетам, взятым в нулях v_{22}^{nl} функции $D_2(\cdot)$. На основании равенств (3.3), (3.4), (2.7), (2.9) будем иметь

$$\frac{u^1(r, \theta)}{\cos \theta} = -\frac{v^1(r, \theta)}{\sin \theta} = \frac{2(1-\nu_1)}{G_1 b \sqrt{2(\sin 2x + 2z)}} \sum_{n=-1}^2 \sum_{l=1}^2 A_{12}^{nl} R_{12}^{nl}(v_{22}^0) + O(r^{-c}) \quad (3.9)$$

где $c = v_{22}^{nl}(-0.5, -1)$, $n = -1$. Выражение в правой части равно вертикальному перемещению в вершине выреза.

Напряжения вблизи вершины неограниченно возрастают

$$\sigma_p^1(r, \theta) = -kr^{-c-1} U_p(c, \theta) + O(r^{-c-1}), \quad r \rightarrow 0 \quad (3.10)$$

$$k = b^{-1} z_0^-(c) D_2^{-1}(c) \sum_{n=-1}^2 \sum_{l=1}^2 A_{12}^{nl} R_{12}^{nl}(c) \quad (3.11)$$

$$\pm V_p(r, \theta) = r^2 (\gamma + z) [(\gamma - 1) \sin(\gamma - 1) z \cos(\gamma - 1) \theta - (\gamma + 1) \sin(\gamma + 1) z \cos(\gamma + 1) \theta]$$

Здесь γ_p ($p = 3, 4, 5$) обозначают напряжения σ_{xy} , σ_r и τ_{rz} соответственно; $c = v_{22}^{11}$ — ближний к c по величине вещественной части нуль функции $D_2(\cdot)$, $\operatorname{Re} v_{22}^{11} < -1$.

Асимптотика напряжений σ_b под краем штампа имеет вид

$$\sigma_b^2(r, \pm z) = K_1 [2\pi(1-r)]^{-1/2} + O(1), \quad r \rightarrow 1 - 0 \quad (3.12)$$

$$K_1 = -\sqrt{2} \left(\sum_{n=-1}^2 \sum_{l=1}^2 A_{21}^{nl} \frac{D_2(v_{11}^{nl})}{v_{11}^{nl} z_0^-(v_{11}^{nl})} + \frac{T}{\sqrt{2}(\sin 2x + 2z)} \right) \quad (3.13)$$

Используя (3.8), нетрудно показать, что ряды в коэффициентах (3.11) и (3.13) сходятся абсолютно.

Разрушающую нагрузку T , найдем, воспользовавшись асимптотикой напряжений (3.10) и критерием В. В. Новожилова [8, 9].

$$\int_0^d \sigma_b^2(r, 0) dr \geq z_c d \quad (3.14)$$

(d, z_c — постоянные материала), который после подстановки $\sigma_b^2(r, 0)$ примет вид

$$k \geq cd^{c+1} U_5^{-1}(c, 0) z_c \quad (3.15)$$

Если упругие постоянные областей Ω_1 и Ω_2 одинаковы, имеем решение задачи для однородной плоскости с клиновидным вырезом.

BRITTLE FRACTURE OF AN ELASTIC COMPOSITE PLANE WITH WEDGE CUT

D. F. LEBEDEV

ԱԵՊԱՀԵՎԻ ԿԱՐԳԱԴՐՈՎ ԱՌԱՋԳԱՎԱՆՆԵ ԲԱՂԱԴՐՅԱԼ ՀԱՐԹՈՒԹՅՈՒՆ
ՓԽԲՈՒԽ ՔԱՅՔԱՄՈՒՄ

Դ. Յ. Արքենի

Դիսարկված է անվերջ սեպածե կարգածք ունեցող առաձգական բաղադրյալ հարթություն։ Կարգածքի եղբերին առանցքային ուժով առանց շփման սեղմակած է սեպի տևորով կոչու զրոշմ։ Կարգածքի գորգաթի շրջակայրում դանված է լարվածային վիճակի ասիմպուտիկան։ Քայլքայող բեռը որոշված է նովոսիլովի վիճրում ամրության հայտանիշի օգնությամբ։

ЛИТЕРАТУРА

1. Лебедев Д. Ф., Нуллер Б. М. Контактные задачи для составного упругого конуса.—Изв. АН СССР. МТТ, 1988, № 6, с. 44—52.
2. Уфлянд Я. С. Интегральные преобразования в задачах теории упругости. Л.: Наука, 1967. 402 с.
3. Лебедев Д. Ф., Нуллер Б. М. Круглая панта переменной толщины на упругом полупространстве.—Изв. АН СССР. МТТ, 1976, № 5, с. 39—44.
4. Гахов Ф. Д. Краевые задачи. М.: Физматлит, 1963, 640 с.
5. Лурье А. И., Бричковский Б. З. Решение плоской задачи теории упругости для клина.—Тр. Ленингр. политехн. ин-та, 1941, № 3, с. 158—165.
6. Нуллер Б. М. Некоторые контактные задачи для упругого бесконечного клина.—ПММ, 1972, т. 36, вып. I, с. 157—163.
7. Тер-Акопянц Л. Г. О корнях характеристических уравнений упругого клина.—Вестник ЛГУ, 1983, № 7, вып. 2, с. 116—118.
8. Новожилов В. В. О необходимом и достаточном критерии хрупкой прочности.—ПММ, 1969, т. 33, вып. 2, с. 213—222.
9. Морозов Н. Ф. Математические вопросы теории трещин. М.: Наука, 1984. 256 с.

Ленинградский политехнический
институт имени М. И. Калинина

Поступила в редакцию
10.I.1989